

波による水粒子運動からみた堤脚部洗掘過程に関する考察

大阪大学工学部 正員 梶木 亨
大阪大学工学部 正員。出口一郎

1 玄がさ：著者らは、近年の海岸堤防の洗掘倒壊が碎波英よりも岸側に堤防を設置した場合の比較的大きな碎波波形勾配($H_L/H_0 > 0.03$)に対して生ずる洗掘であることに着目し、このような状態を実験にて再現し、堤脚部の洗掘が進行している状態、最大洗掘深まで達した状態、洗掘孔がうめ止めされている状態、など、それらの状態における堤防前面の水粒子の運動を実験的に明らかにして、洗掘機構の解明のための基礎資料を得た。

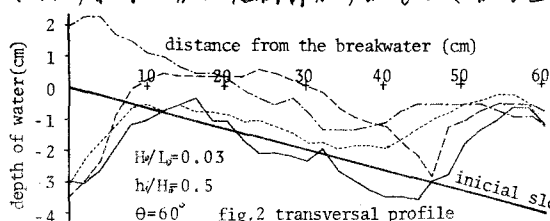
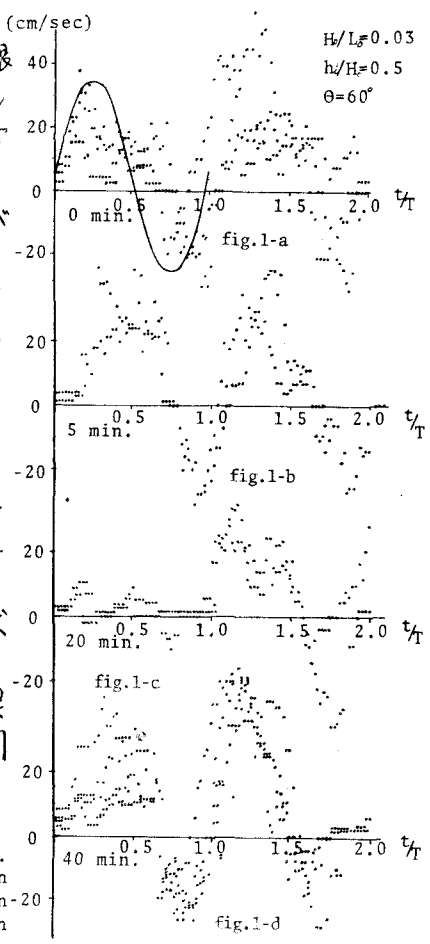
2 実験装置及び実験方法：実験諸元は、碎波波形勾配 $H_L/H_0 = 0.03, 0.05$ 、堤防相対設置水深 $h/H_0 = 0.5, 0.75$ 、堤防法面角度 $\theta = 60^\circ$ の計4ケースで、碎波高 $H_0 = 8\text{cm}$ である。

実験は、水槽端に設置した勾配 $1/5$ の不規則斜台の上に $d_{50} = 0.042\text{cm}$ の砂粒をまくつ実験所を約 8cm 厚にしきつめて行つてある。

また、水粒子運動の解析には、 $\phi 5\text{mm}$ のガラス球に水銀を注入し、比重約1.0としてトレーサーを水中に投入し、その動きを 16mm 撮影機で撮影することによつて行つてある。移動床の地形変化は造波開始後5分、10分、15分、20分、40分、60分に測定し、撮影は上記6回と、地形が変化する前の初期地形に復元して計7回行つてある。

3. 水粒子速度の時間変化と地形変化との対応：トレーサーの動きから読みとった底部の水粒子速度の時間変化の一例と、それを時間における堤防前面地形を図1-a～図1-d、図2に示す。

なお、図1では、トレーサーが最も堤防に近づいた時(堤脚部から 2cm 以内の距離)を $t=0$ にとってある。図2より、堤脚部にて造波開始後5分で典型的な洗掘孔を生じ、20分までその地形を保ち、40分で大きくつめ止められ、最終的には堤脚部からかなりの距離にわたり初期状態よりも堆積していく。一方洗掘前と洗掘孔が生じて造波開始後5分における水粒子速度の間に大きな差異はみられないが、堤脚部がうめ止められる直前の造波



始後20分に約173水粒子速度下、堤脚部で極端に小さくなり、さらには堤脚部がうねりとされ、後に約173水粒子速度は、再び浅瀬初期に約173それと同程度の大きさをもたらす。同様の時間変化を示している。すなわち、堤脚部に生じた地形変化の影響が、造波開始後20分で堤防前面の水粒子速度の変化となり、現れ。さらにはその変化した水粒子運動によって、新たに地形変化(造波開始後40分に約173)を引き起こすわけで、水粒子運動が地形を変化させると速さ下、地形が変化すると逆に、水粒子の運動の状態が変化する速さよりも早いことがわかる。また、この傾向は今回行なった実験のすべてのケースにおいてみられた。

4 水粒子の残留速度と地形変化の関係: 図1から明らかに、堤脚部の水粒子は、常に離岸方向の残留速度をもつ。ところが、底質の輸送を問題にする場合、この残留速度が重要な要因の一つと考えられるので、ここで残留速度が地形変化に及ぼす影響について若干の考察を行なう。まず図3に示す下直徑Dの球状の砂粒が移動する場合を考える。

この砂粒が掻乱状態で輸送される場合、その移動速度はEaglesonらの研究を参考して式(1)のように導かれる。

$$U_s = e^{-At} \int_0^t e^{At} (A_1 U_f + A_2 U_f - A_3 \sin \alpha - A_4 \cos \alpha) dt \quad (1)$$

$$\text{ここで } A_1 = \frac{\rho \pi D^3}{8}, \quad A_2 = \frac{M_f(1+C_h)}{M_s + C_h M_f}, \quad A_3 = \frac{g(M_s - M_f)}{M_s + C_h M_f}, \quad A_4 = \frac{Eg(M_s + M_f)}{M_s + C_h M_f} U_f$$

fig.3 definition sketch

ここで、 U_f : 砂粒に作用する流速、 ρ : 流体密度、 M_f : 砂粒が排除する流体の質量、 C_h : 質量力係数、 C_d : 抗力係数、 E : 砂粒摩擦係数、 T : 波の周期である。 U_f 、砂粒に作用する流速 U_f は、残留速度 U_f をもつ形で簡単には

$$U_f = E_f + f_f \sin \omega t \quad (2)$$

で表わされるとすると、図1-aの地形変化の初期状態に約173水粒子速度は $E_f = 5.0$ 、 $f_f = 30.0$ 、 $\omega = 2\pi/T$ とおくことにし、堤脚部で高い精度を要求してFVCAによる表現で十分水粒子速度を近似している。この曲線は図中実線で示す。式(2)を式(1)に代入し、一周期平均をとると砂粒の一周期平均の移動速度が次式のようになる。

$$\bar{U}_s = \frac{1}{T} \int_0^{2\pi/T} U_s dt = E_f - \frac{A_2}{A_1} \sin \alpha - \frac{A_4}{A_1} \cos \alpha + \frac{A_1 A_f + A_2 A_f \omega^2}{A_1 - \omega^2} + \frac{e^{-At}}{TA_1} (e^{-At} - 1) \left(\frac{1}{A_1} (A_1 E_f + A_3 \sin \alpha - A_4 \cos \alpha) - \frac{A_1 A_f \omega + A_2 A_f \omega^2 - A_2 A_f \omega^3}{A_1 - \omega^2} \right) \quad (3)$$

式(3)からわかるように、底質の一周期平均移動速度は水粒子残留速度と線型に結びついている。以上(1) Lagrange的(2) Euler的底質の移動速度であるが、より断面を通過する一周期平均の底質の移動量は(1)、(2)に比例すると考えられる。したがって式(3)より(1)は水粒子残留速度に比例すると考えられ、底質の移動量の連続式より地形の変化量は変化率の大きさによらず一定である。しかし、堤脚部の近くでは、堤脚からの土砂の供給がないため、残留速度の方向のみで地形の浅瀬、堆積が定まる領域も存在しよう。そこで、これらの関係をみるために、残留速度の距離的変化及び造波開始後0分～5分、5分～10分、20分～40分、40分～60分の間に生じた地形変化量を示したのが図4、図5である。これらの図から明ら

かのように、洗掘初期の状態で堤脚部における残留速度は大きく、その残留速度にて堤脚部の洗強が起らるものと思われるが、その後洗掘孔が生じてからでは、残留速度の大小もしくは場所的不変化率と、洗掘量との間に下述則的な関係はみいだせず。さらに堤脚部近傍における残留速度の方より大きさで地形の洗掘、堆積及びその量を予測すると思われる領域を明らかにすることはできなかつた。次に著者らは、かつて堤脚部の局部洗掘における最大洗掘深にて、水面を流下するもどり流れの堤脚部での流速の変化に比例するといふ関係を実験的にみいたしたが、洗掘初期の状態で 31.5 cm/sec にて堤脚部もどり流れが最も遅れ開始後 5 分で 7 cm/sec にて減少してあり、このことから洗掘初期の状態では法面上のもどり流れは堤脚部の局部洗掘に対して支配的役割(堤脚部の底質を擾乱させ底質を動きやすくする。)付けているが、ある程度洗掘が進行して状態では、もどり流れが底質移動に与える影響は小さいことが明らかである。

以上の事実にもとづいて、図 2 を再検討してみると、堤脚部の洗掘孔で堤脚部に向かうもどり流れが瞬時に減弱している。式(3)を考慮してこの洗掘過程について考えてみると、洗掘初期では早くから離岸方向に動き得る堤脚部底質も、洗掘が進行しもどり流れが増加するにつれて(造波開始後 5 分)止む減弱し、最終的には洗掘状態に達した(造波開始後 20 分)状態では止む減弱し、もはや底質は離岸方向には動き得ずこの時まで堤防前面の水粒子の運動にも変化が現われ、ついには洗掘孔がうめもどりされる(造波開始後 40 分)わけである。このように洗掘過程に取ける地形変動に対しては残留速度の特性の他に、洗掘孔の形状重要な要素の一つとして考えなければならないと思われるが、この洗掘孔の最終的な形状については講述する。以上 $H_0 = 0.03$, $h/H_0 = 0.5$, $\theta = 60^\circ$ の場合について考察を進めたが、今後さらにその前面の変形過程について掃流による移動のみならず浮遊による移動も含めて底質移動も考慮して、この最終洗掘形状を明らかにしていきたいと考える。最終的に本研究は文部省科学研究所費の一部を用いて行なわれたことを記し、実験に協力していただいた当时 4 年生の溝内俊一君に感謝する次第である。

[参考文献]

Eagleson, P.S., R.G. Dean and L.A. Peralta : The Mechanics of the Motion of Discrete Spherical and Bottom Sediment Particles due to Shoaling Waves, Tech. Memo, No.104 (1958) B.E.B.